

НИУ "ВШЭ"



ЛАБОРАТОРНАЯ РАБОТА ПО МЕХАНИКЕ

БФ3223

ЭЛЕМЕНТАРНАЯ ТЕОРИЯ КОЛЕБАНИЯ СТРУНЫ

Автор:
Айдар РЯЖАПОВ

29 декабря 2022 г.

Содержание

1	Теоретические сведения	2
2	Постановка эксперимента	3
3	Результаты измерений и обработка данных	4
3.1	Исследование возникновений полуволн в зависимости от частоты .	4
3.2	Исследование зависимости частоты сигнала от силы натяжения струны	6
3.3	Анализ полученных значений погонной плотности	7
3.4	Вычисление добротности системы	8
4	Выводы	9

КОЛЕБАНИЯ СТРУНЫ

Аннотация

В данной работе исследуется явление возникновения полуволн в стоячей волне. Проверяется сходимость теоретической модели с экспериментальными данными. Также было получено значение погонной плотности исследуемой струны и определена добротность системы.

1 Теоретические сведения

Рассмотрим струну, силой тяжести которой по сравнению с силой натяжения можно пренебречь (отсутствует провисание). Форма струны описывается некоторой зависимостью $y(x, t)$, притом в любой момент времени $tg\alpha = \partial y / \partial x$.

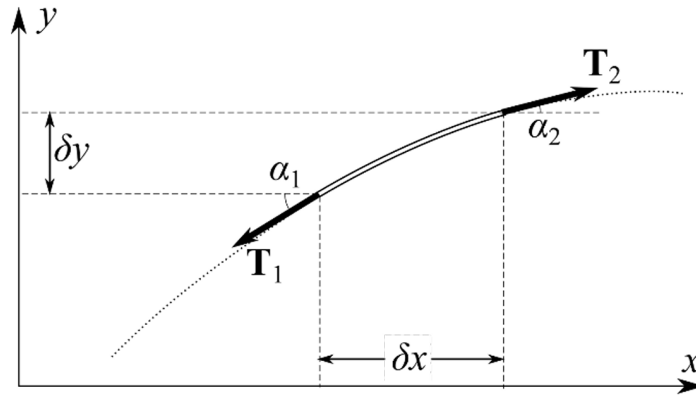


Рис. 1: Малый кусок струны в приближении

Пусть в состоянии равновесия длина малого фрагмента струны δx , его масса $\delta m = \rho_L \delta x$. При смещении на фрагмент действуют силы натяжения T_1 и T_2 . Так как отклонения будем считать малыми, то длина фрагмента при его смещении не изменяется, $T_1 \approx T_2 = T$, $tg\alpha \approx \alpha \approx \partial y / \partial x$. Запишем II закон Ньютона в проекциях на вертикальную ось:

$$\delta m \frac{\partial^2 y}{\partial t^2} = -T_1 \sin \alpha_1 + T_2 \sin \alpha_2$$

Учитывая пренебрежения описанные выше получаем:

$$\rho_L \frac{\partial^2 y}{\partial t^2} \approx T \frac{\alpha_2 - \alpha_1}{\partial x}$$

Таким образом, получаем волновое уравнение:

$$\frac{\partial^2 y}{\partial t^2} - \frac{T}{\rho_L} \frac{\partial^2 y}{\partial x^2} = 0$$

В общем виде решение данного уравнения записывается в виде:

$$y(x, t) = A \cos(\omega t \pm kx + \varphi)$$

, где $k = \omega/u$ - волновое число, а $u = \sqrt{T/\rho_L}$ - фазовая скорость. Если концы струны закреплены, то получаем стоячую волну, являющуюся суперпозицией двух волн с равными амплитудами, бегущими в противоположных направлениях:

$$y = A\cos(\omega t + kx + \varphi_1) + A\cos(\omega t - kx + \varphi_2)$$

Преобразуя получаем:

$$y = 2A\cos(\omega t + \frac{\varphi_1 + \varphi_2}{2})\cos(kx + \frac{\varphi_1 - \varphi_2}{2})$$

Тогда на закрепленной струне длины L укладывается N полуволн при условии:

$$kL = \pi N$$

Из определения волнового числа, получаем:

$$f_N = \sqrt{\frac{T}{\rho_L}} \frac{N}{2L}$$

2 Постановка эксперимента

В качестве струны используется медный проводник, закрепленный с одного конца, на другой конец подвешены грузы. Генератор сигналов с переменной частотой генерации подает на проводник переменное синусоидальное напряжение, в струне возникает переменный ток.

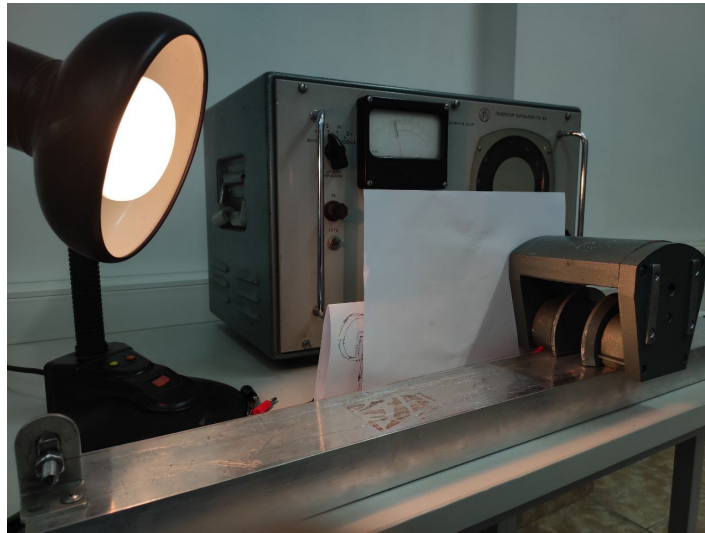


Рис. 2: Исследуемая установка

Струна помещается в магнит, на проводник с током в магнитном поле действует сила Ампера — в нашем случае, она, как и ток, является периодической. Под действием этой силы струна начинает колебаться. Для увеличения точности считывания частоты сигнала используется осциллограф, подключенный к выводам генератора. Для фиксации амплитуды и процессов затухания используется телефон с замедленной съемкой, установленный на штативе, так, чтобы камера смотрела на середину струны. Позади середины струны установлена линейка.

3 Результаты измерений и обработка данных

3.1 Исследование возникновений полуволн в зависимости от частоты

Исследуем количество пучностей, возникающее в струне в зависимости от частоты. Для этого проводим опыт, в котором для определённой массы груза ($m = 74.25$ г, $T = 0.73$ Н, длина струны $L = 1$) на подвесе изменяем частоту на генераторе сигнала. Проверим сходимость экспериментальных данных с теоретической и построим график зависимости частоты сигнала от количества полуволн. Как мы можем видеть по Рис.3 точки ложатся на аппроксимацию прямой.

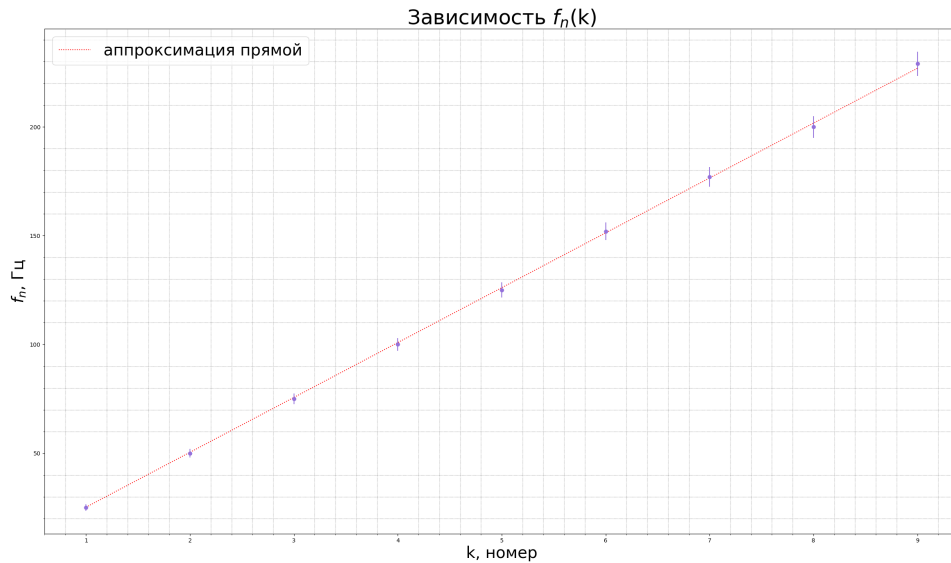


Рис. 3: Зависимость $f_n(k)$

Методом МНК(здесь и далее аппроксимация проводилась методом мнк функцией `scipy.optimize.curve_fit`) была проведена прямая по полученным данным.

Аппроксимация проводилась функциями $y = kx$ и $y = kx + b$. Ниже представлены полученные коэффициенты для каждой аппроксимации.

Случай $y = kx$

$$k = 25.2175 \text{ Гц} \quad \Delta k = 0.0046 \text{ Гц} \quad \varepsilon_k = 0.018283\%$$

Случай $y = kx + b$

$$k = 25.37 \text{ Гц} \quad \Delta k = 0.02 \text{ Гц} \quad \varepsilon_k = 0.083\%$$

$$b = -0.9 \text{ Гц} \quad \Delta b = 0.7 \text{ Гц} \quad \varepsilon_b = 70\%$$

Как мы можем видеть, второй случай аппроксимации не подходит, из-за большой погрешности коэффициента b , соответственно подходит первый случай, что

соответствует теоретическому предсказанию. Из полученного графика можно вычислить погонную плотность струны.

$$f_N = \sqrt{\frac{T}{\rho_L} \frac{N}{2L}}$$

Из полученной аппроксимации получаем:

$$k = \sqrt{\frac{T}{\rho_L} \frac{1}{2L}} = \sqrt{\frac{mg}{\rho_L} \frac{1}{2L}}$$

Выражая ρ_L получаем уравнение:

$$\rho_L = T \frac{1}{4L^2 k^2} = 2.797 \cdot 10^{-4} \text{кг/м}$$

Расчитаем погрешность:

$$\varepsilon_{\rho_L} = \sqrt{(2\varepsilon_L)^2 + (2\varepsilon_k)^2 + \varepsilon_T^2} = 0.24\%$$

$$\varepsilon_L = \frac{0.001}{1} \cdot 100 = 0.1\%$$

$$\varepsilon_k = 0.018\%$$

$$\varepsilon_T = \frac{0.1}{74.25} \cdot 100 = 0.13\%$$

Соответственно получаем:

$$\rho_L = (2.80 \pm 0.01) \cdot 10^{-4} \text{кг/м}$$

3.2 Исследование зависимости частоты сигнала от силы натяжения струны

В данной части исследуется зависимость частоты сигнала, образующую одну полу-волну от силы натяжения струны. Проверим сходимость экспериментальных данных с теоретической зависимостью. На Рис.4 представлена исследуемая зависимость.

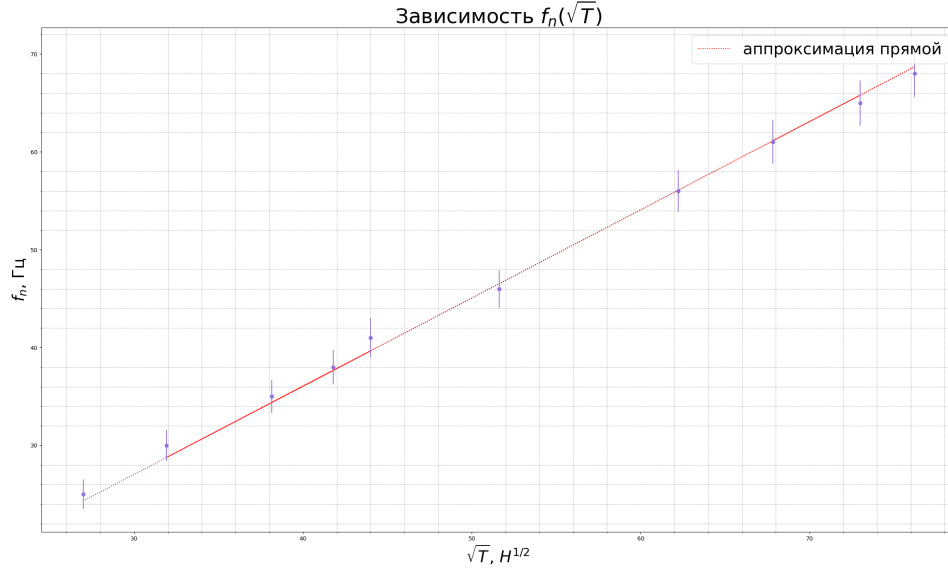


Рис. 4: Зависимость $f_n(\sqrt{T})$

Методом МНК была проведена прямая по полученным данным.

Аппроксимация проводилась функциями $y = kx$ и $y = kx + b$. Ниже представлены полученные коэффициенты для каждой аппроксимации.

Случай $y = kx$

$$k = 0.90145 \frac{\Gamma_{\text{ц}}}{\sqrt{H}} \quad \Delta k = 0.00002 \frac{\Gamma_{\text{ц}}}{\sqrt{H}} \quad \varepsilon_k = 0.0024\%$$

Случай $y = kx + b$

$$k = 0.86546 \frac{\Gamma_{\text{ц}}}{\sqrt{H}} \quad \Delta k = 0.00008 \frac{\Gamma_{\text{ц}}}{\sqrt{H}} \quad \varepsilon_k = 0.009\%$$

$$b = 2.0 \frac{\Gamma_{\text{ц}}}{\sqrt{H}} \quad \Delta b = 0.2 \frac{\Gamma_{\text{ц}}}{\sqrt{H}} \quad \varepsilon_b = 11\%$$

Как мы можем видеть, второй случай аппроксимации подходит хуже первого, так как существует существенная погрешность коэффициента b , соответственно подходит первый случай, что соответствует теоретическому предсказанию. Из полученного графика можно вычислить погонную плотность струны.

$$f_N = \sqrt{\frac{T}{\rho_L} \frac{N}{2L}}$$

Из полученной аппроксимации получаем:

$$k = \sqrt{\frac{1}{\rho_L} \frac{1}{2L}}$$

Выражая ρ_L получаем уравнение:

$$\rho_L = \frac{1}{4L^2 k^2} = 3.086 \cdot 10^{-4} \text{ кг/м}$$

Расчитаем погрешность:

$$\varepsilon_{\rho_L} = \sqrt{(2\varepsilon_L)^2 + (2\varepsilon_k)^2} = 0.2\%$$

$$\varepsilon_L = \frac{0.001}{1} \cdot 100 = 0.1\%$$

$$\varepsilon_k = 0.009\%$$

Соответственно получаем:

$$\rho_L = (3.086 \pm 0.001) \cdot 10^{-4} \text{ кг/м}$$

3.3 Анализ полученных значений погонной плотности

Таким образом, мы имеем два значения погонной плотности, вычисленные разными способами.

$$\rho_1 = (2.80 \pm 0.01) \cdot 10^{-4} \text{ кг/м}$$

$$\rho_2 = (3.086 \pm 0.001) \cdot 10^{-4} \text{ кг/м}$$

Погонную плотность можно вычислить также прямым способом, измеряя массу m струну длины L .

3.4 Вычисление добротности системы

Для того, чтобы вычислить добротность системы, проведём следующий эксперимент: для определённого значения натяжения струны ($T = 1.01$ Н, $f_n = 29$ Гц) найдём резонансную частоту, после чего выключаем генератор сигнала и снимаем на видео затухающие колебания струны. По полученным данным определяем декремент затухания системы.

Зависимость $\ln(A)(t)$

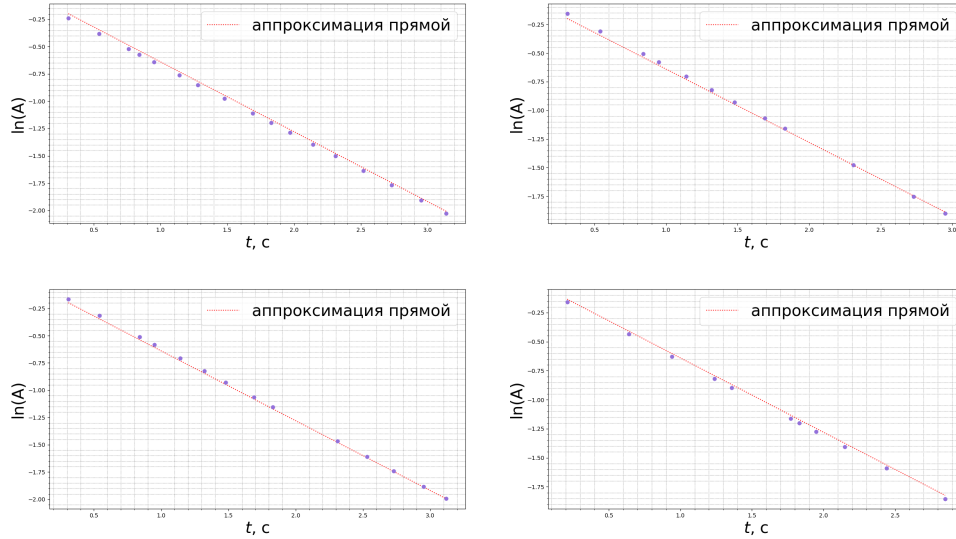


Рис. 5: Зависимости $\ln(A)(t)$

Из графиков:

$\gamma_1 = 0.64$ 1/с	$\varepsilon_{\gamma_1} = 2\%$	$Q = 144$
$\gamma_2 = 0.63$ 1/с	$\varepsilon_{\gamma_2} = 1.5\%$	$Q = 138$
$\gamma_3 = 0.66$ 1/с	$\varepsilon_{\gamma_3} = 1.8\%$	$Q = 142$
$\gamma_4 = 0.65$ 1/с	$\varepsilon_{\gamma_4} = 2.2\%$	$Q = 140$
$\varepsilon_\omega = \frac{2}{29} \cdot 100 = 6.7\%$		

Добротность вычисляется по определению:

$$Q = \frac{\omega}{2\gamma}$$

Так как относительная погрешность измерения частоты более чем в 3 раза больше относительной погрешности коэффициента затухания получаем, что относительная погрешность добротности равна относительной погрешности измерения частоты. Тогда получаем:

$$Q = 141 \pm 9$$

4 Выводы

В работе исследовались колебания стоячей волны и проверялась сходимость теоретических зависимостей с экспериментальными. Была получена погонная плотность струны двумя различными способами $\rho_1 = (2.80 \pm 0.01) \cdot 10^{-4} \text{кг/м}$ и $\rho_2 = (3.086 \pm 0.001) \cdot 10^{-4} \text{кг/м}$. Также была определена добротность системы при $T = 1.01$ Н. Значение оказалось равным $Q = 141 \pm 9$.